基於 LSTM 遞歸神經網路建構船舶耗材需求預測模型

郭俊良1* 蔡宗憲2 洪培倫3

1銘傳大學管理學院風險管理與保險學系 2國防大學理工學院資訊工程學系 3國防大學管理學院運籌管理學系

摘 要

軍事後勤管理具高度機敏性,致使導入人工智慧的數位轉型的革新工作進程緩慢,但是商業領域卻已經提出許多創新性的應用,因此軍事後勤管理導入人工智慧進行零附件存貨需求的預測分析已成為急迫性的研究議題。為解決傳統方法造成資產管理效能不張的問題,本研究提出植基於深度學習之 LSTM 長短期遞歸神經網路的零附件需求預測模型,經實證研究結果顯示,LSTM演算法可以提高料件需求預測的準確率,未來可做為實現精準後勤運籌管理的方法論。

關鍵詞:時間序列分析、需求預測、存貨管理、長短期遞歸網路

Construct a Demand Forecasting Model for Maritime Spare Part Inventory Management based on LSTM

Jiunn-Liang Guo^{1*}, Chung-Hsien Tsai², Pei-Lun Hong³

¹Department of Risk Management and Insurance, Management College, Ming Chung University ²Department of Computer Science and Information Engineering, Chung Cheng Institute of Technology, National Defense University

³Department of Logistics Management, Management College, National Defense University

ABSTRACT

Military logistics management is highly sensitive, resulting in slow progress in the innovation of digital transformation while conducting artificial intelligence. However, many innovative applications have been proposed in the commercial field. Therefore, the issues related to that military logistics management introduces deep learning to predict and analyze spare parts inventory demand are and necessary. In order to solve the problem of asset management inefficiency caused by traditional methods, this study proposes a spare parts demand forecasting model based on LSTM recurrent neural networks. The empirical research results reveal promising performance that LSTM algorithm can improve efficiency for demand forecasting. Accordingly, the proposed scheme provides feasible methodology to achieve precise logistics management in the future.

Keywords: Time Series Analysis, Demand Forecasting, Inventory Management, LSTM

文稿收件日期 112.09.13; 文稿修正後接受日期 112.12.21; *通訊作者 Manuscript received Sep 13, 2023; revised Dec 21, 2023; *Corresponding author

一、前 言

隨著人工智慧技術的快速發展,近年來世 界各國在各領域均投入大量的資源致力於智 能化的數位轉型,特別是國防產業更積極導入 人工智慧及大數據分析等先進資通訊科技以 進行軍事事務革新,期能藉由國防科技數位轉 型提升國家安全層次。台灣囿於複雜的國際地 緣政治等外部因素的限制,先進武器獲得不 易,往往無法立即獲得符合國軍當前建軍規劃 所需的最新裝備,使得國軍裝備經常面臨軍備 壽期後勤籌補的問題。雖然透過各種延壽方案 仍然能夠維持戰力,但是隨著時間的遞延,許 多武器裝備的零附件經常產生消失性商源,間 接影響裝備妥善率的嚴峻問題。若是屬關鍵耗 材類則籌補更為費時而獲得困難,若屬必要品 項,則需耗費更高成本購置(廠商開模、重啟 生產線等),或辦理裝備構型變更等作業,以 求裝備能符合零附件適用。目前雖已配合政府 國防自主政策提高裝備自主性,但關鍵零組件 尚須仰賴國外廠商供應,使得零附件存貨管理 系統的效能致關重要。

國軍組織調整歷經精實案、精進案迄至精 粹案以來,各單位縮編、簡併、裁員,業務簡 化未提出有效配套作法,使人力縮編後工作負 荷量大增,後勤資訊系統並未同步整合,致使 許多資料統計分析功能支援度不佳。為提升補 保工作執行效率,並確保零附件供應無虞,運 用資料探勘技術分析各式後勤系統裝備及零 附件管理運作資訊,提升後勤系統運用效益, 推動系統整合及精進,構建共同作業平臺是必 要推行之方向。目前國軍各類後勤系統歷年均 編列相關預算辦理系統研改以精進內容,故與 當初規劃架構與功能略有出入,因各後勤系統 由各單位自行開發建置,時常造成資訊獲得時 效落差,致使無法有效管制庫存最新資訊,並 且也未提供需求預測功能供備料規劃人員參 考[1]。

國軍在各式裝備的後勤管理部分主要是以全壽期系統管理(Total Life Cycle Systems Management, TLCSM)方法規劃管理作業流程,涵蓋從武器裝備系統的初始規劃到研發、採購、生產、維護和處置的整個生命週期過程。由於維持作業佔全壽期成本的60%~70%,因此在武器裝備系統購置後,要確保維運妥善,相關零附件的補充對於武器裝備系統的高效運行至關重要。為確保零附件的供應無虞,需

要對零附件領用量進行高準確度的預測。由於低準確度可能會造成因維護延遲導致使用率降低、庫存不足將影響戰備任務遂行、或庫存過剩將形成庫儲資產積壓,進而衍生預算浪費。因此,精準預測武器裝備系統零附件需求不僅可以降低武器裝備系統全生命週期的運行和維護成本,而且對提高武器裝備系統的戰備水平具有重要意義[2]。

隨著工業 4.0 智慧製造概念的倡導,目前 主要有九種科技驅動著各產業的智能化轉型, 即大數據分析、深度機器學習、雲端網路、 器人自動化、智慧系統整合、物聯網、網路安 全、擴增實境以及數位對映模擬。當中所運用 的智慧型數據分析與預測方法更是數位轉型 時代提高資料處理效能洞察商業智慧的利器, 同時可透過建立預測模型或因素分析改善組 織管理效能,創造競爭優勢。

近年來智慧型數據分析於軍事後勤的相 應用已受到高度重視,亦成為世界各國未來進 行軍事事務革新之重點。軍事後勤乃整體聯合 戰力發揮之基礎,而人工智慧預測模型將成為 未來作戰指揮決策支援之重要基礎。其中就後 勤保修及零附件管理而言,裝備維護之零附件 獲得與存貨水準需求規劃則被視為軍事後勤 管理之關鍵項目。由於武器裝備獲得困難,國 軍大部份裝備經常遭遇中壽期維護成本高漲 的問題,主要武器裝備因服役時間長,故為維 持這些武器系統及裝備的妥善率及可支援性, 以當前的系統支援不足的環境下,已投入相當 多的人力資源,在裝備持續老舊的前提下,零 附件更換頻率亦逐年提高。由於軍品獲得管道 在外購的部分,其交貨期往往動輒在 1 年以 上,若未及早進行前置精準規劃,後續在零附 件供補上將因緩不濟急而造成裝備無法及時 修復等情形,將嚴重影響戰力。

 用等情形,進而產生庫儲資產積壓而低效運用的問題,嚴重則易產生久儲未耗資產持續增加之趨勢。為解決此一問題,雖然後勤單位會針對物料採購前建立庫存量審查機制,並於採購業建立前先行完成資格審查,但就存貨管理效能來看,將無法解決久儲未耗問題。因此急需建立精準預測機制,實際檢視需求面資料異動的樣態,並建立完善零附件備料需求預測模型,才能提升後勤存管作業效能。

另外,國防部在後勤相關維持費的預算時常遭受立法院凍結及刪減,造成預算運用的排擠,整體預算無法滿足年度需求等困境。為使採購預算運用發揮最大效益,需建立一套有效的預測推估機制,用以準確預測需求量並改善零附件獲得的前置規劃,進而可間接提升預算編列的精確度,以確保預算使用效率。若能算編列的精確度人工智慧方法,建立具體可行且事人大數據及人工智慧方法,建立具體後勤運等決策流程。

本研究針對公部門某單位後勤庫儲系統有關船舶零附件的歷史領用紀錄進行分析,與用深度學習之長短期遞歸神經網路(LSTM)建構零附件需求量預測模式,用以改善存貨管理人員備料之準確性,並提供後續發異數管理人員之決策參考依據。透過歷史撥發異數後,建立常模分析評估,以即時掌握單位後數運業檢查,是體整合後勤管理資源,主建動運業管理效能。因此本研究目的為後東東發動運業管理效能。因此本研究目的為後,是對政策等的預測有過失數變與比較傳統時間序列需求預測方法建構最佳化之零附件時間序列需求預測

模型。

二、文獻探討

2.1 存貨管理

存貨管理中有關物料整備的支援度係裝 借保養維修達成高妥善率之關鍵因素,為確保 各式裝備發揮應有的功能,需依據完善的計畫 備料規劃,運用需求分析科學方法,參考技術 文件及庫儲歷史資料,藉審查、稽核機制,精 實推估保修計畫備料需求量,同時根據需求、 獲得、儲存、分配等面向,滿足裝備保修各期 程的管制目標。Wild[3]提出存貨管理是一項在 企業公司中越來越重要的任務,並且通常是公 司成功的因素,在庫存的控制中,包括存儲、 發貨和運輸,運用良善的庫儲管理系統可以穩 定成本和間接費用,並提供更好的預算控制, 良好的系統可以改善供應鏈中各個階層的問 題。存貨管理是一個非常複雜的問題領域,正 是這種複雜性使得開發一種系統成為輔助決 策的必要要件[4]。

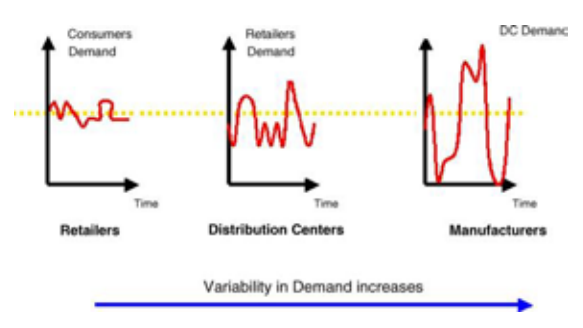


圖 1. 長鞭效應圖

此外供應鏈管理(Supply Chain Management, SCM)是協調貨物、服務、訊息和資金從原材料到零件供應商、製造商、批發商、零售商到消費者的過程,鏈中的每個節點都必須使用來自其相應上游的需求訊息來決定要採購產品之購買時間及數量,而往往在供應鏈中缺乏協調和共享的訊息,導致真正的需求無法正確獲得,就如同長鞭效應(bullwhip effect),如圖 1 所示,需求量往往因為無法獲得精確的資訊,而導致一連串推估量值偏誤的放大現象[5]。為維持裝備妥善及滿足客戶需求,企業在供應鏈中的各階層都必須嚴密掌控相關資訊,才能確保預估的正確性。

蘇雄義[6]提到,制定存貨政策時,物流管理策略的良窳對於企業帶來風險及影響具有

備料與存貨管理是密不可分的,而存貨即 泛指所有可留用於未來、具經濟價值而目前 時處於閒置狀態的資源,是一種包含各式型態 (自原料至成品)之集合體。存貨管理主要 (自原料至成品)之集合體。存貨管理主要, 的在於以最低總成本維持最低原物料存量, 能適時、適量 地滿足生產及銷售所需 求預測的部分,除了在各企業佔了重要的 環,亦為零附件管理重要課題,Wild[3]指出 野 歷史和預期需求的詳細分析提供了更好的預 測,可以改善庫存過剩及預算浪費的情形。

存貨管理在客觀方法中,最常見的是經濟 訂單數量理論 (Economic Ordering Quantity, EOQ),該理論為每項物料確定兩個數量:再 訂貨點和訂貨數量。當現有庫存到達再訂購點 時,一個訂購量等於訂購數量以補充庫存。計 算訂單數量通常只需要預測每段期間的平均 需求。相反,計算正確的再訂貨點需要估計在 補貨訂單生成到其到達庫存之間的時間間隔 內的整個需求分佈,也就是提前期[8]。然而在 裝備武器採購費用昂貴,後續後勤維修能量之 維持,相關零附件之管理佔了相當大的比重, 而備料是以最低總成本維持最低原物料存量 適時、適量支援維修任務,確保各式武器裝備 妥善, 並積極運用各單位專業人力, 參考技術 文件及後勤支援分析資料,精實檢討保修所需 備料,避免因需求失真產生「待料」、「呆料」, 並建立一套方法儲存適當之備份元件是備料 作業主要的目的。因此,以庫儲系統歷史領耗 用紀錄來分析預測相關裝備之未來修期備料 狀況,可提高備料精度,減少預算浪費。

2.2 需求預測

需求預測往往與資料量大小具高相關性, Mayer-Schönberger and Cukier[9] 等學者的研 究指出巨量資料分析的核心在於預測模型,而 該模型需以大量資料做為分析運算的基礎,結 合機器學習等人工智慧方法進行訓練並判斷 最佳參數組合及訊息。Hua and Zhang[10]則提 到零附件需求預測的準確性對庫存控制具高 度重要性。良好的預測對可以降低持有成本, 最大限度地減少浪費,並減少所需的營運資 金,來增加現金流以及提高履行客戶訂單的能 力[11]。目前在各產業中均積極地以機器學習 建立需求預測來降低額外費用所導致的物流 成本及產品短缺所產生的機會成本[12]。Chen and Chen[13]的研究提到若能正確預測實際需 求量則可有效控制庫存水準並可直接訂定正 確的採購量。由此可知,如何分辨雜訊準確判 斷數據訊號做出誤差最小的預測,是需求預測 方法所需關注的思考面向。

需求預測的方法主要可分為量化方法(定 量法)與質化方法(定性法)兩種。余桂霖[14] 指出量化預測是一種分析與時間序列有關之 歷史資料的研究策略,著重在檢視歷史資料的 時間樣態與所關注議題之間的關聯性,也就是 利用過往時間之歷史資料來預測未來的結果。 而質化預測是在當歷史資料無法利用時,由專 家學者的判斷來進行預測。量化預測又可分為 兩種類型:時間序列與因果分析,而時間序列 原理係指按照時間發生先後順序進行排列紀 錄,透過觀察歷史的時序資料來分析未來需求 值。時間序列的預測方法可分為時間序列統計 分析及機器學習兩類別相關預測方法分類如 圖 2,較常見的傳統時闁序列方法有移動平均 法、指數平滑法(Exponential Smoothing, ETS) 及自迴歸積分移動平均(Autoregressive Integrated Moving Average Model, ARIMA)等, 而機器學習則是基於類神經網路及其衍伸的 方法,例 LSTM 等。本研究資料係基於時間因 子樣態,屬性為序列資料,將探討資料間前後 關係,所採用之預測方式為歷史資料來實施未 來需求值之預測,故將運用時間序列相關演算 法進行分析研究,期建立預測模型供後勤人員 決策使用。

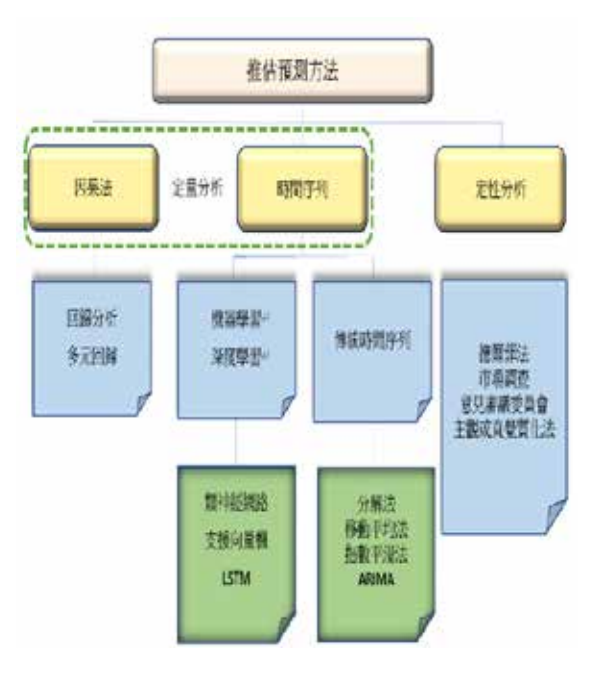


圖 2. 推估預測方法分類

2.3 時間序列分析

存貨管理之需求分析主要針對歷史資料 進行時間脈絡的研究,資料屬性可視為時間序 列分析的研究領域。余桂霖[14]提出時間序列 是由經濟或物理現象在連續的均等時間內所 產生一連串觀察值,而分析是一種透過已所 (歷史)的時間序列資料的特性,來預測或已 估未來數值的過程。表示對某一現象時間序列 的成分加上分解,分析各成分的變化情況,往 往會發現它們呈現出某種形態的變化,而未來 該成分亦將順從同一形態或呈現另一形態而 變化。

時間序列分析的目的是在研究過去時間點所發生的歷史事件,來更能夠了解資料的基組成架構,進而給予預測未來事件的工具及內理使用跨越某個已發生時間的重求了數據探勘的重求的重要了,時間序列亦屬數據探勘的重求了,對於實理[18]、數造[19]、自行車共享[20]、零售實證明時間序列分析具有方數據不可證明時間序列分析具有學者採用問題,所說是不可證明時間序列分析具有學者採用問題之方法來解決產業中的特定問題,而相關問題大來解決產業中的特性,因此可透過分析已發生人歷史)的時間序列資料來預測或推估未來需求量。

傳統的時間序列模型雖然有不錯的成果, 惟近期在人工智慧的進步下,有更多深度學習 的方式可進一步提高預測的準確度。Wang, Chien, and Trappey[24]主張 ARIMA 方法的缺 點為時間序列數據必須具備定態(stationary), 而且只能處理線性關係,該研究透過實際半導 體生產廠訂單資料,比較 ARIMA 和長短期遞 歸神經網路(Long Short-Term Memory, LSTM) 模型,運用均方根和平均絕對百分比誤差進行 評估和驗證,發現 LSTM 在短期預測方面表 現出更高的準確性,明顯提高了需求和庫存預 測的準確性和效率。另外 Dali and Chengcheng[25] 說明由於零附件需求的不確 定性, 傳統的時間序列模型難以獲得良好的預 測結果,然而 LSTM 模型已可以在裝備的零 附件得到很好的預測結果,為了提高準確性, 基於 LSTM 模型架構下提出了一種整合經驗 模態分解 (Ensemble Empirical Mode Decomposition, EEMD)和LSTM的組合預測模 型,透過均方根和平均絕對百分比誤差實驗評 估證明,它的準確性遠超過傳統 ARIMA 時間 序列預測模型。

Abbasimehr 等學者[26]提到時間序列預測技術以深度學習 LSTM 的方法進行需求預測,可得到不錯的結果。另外由於仍有部份文獻顯示傳統方法在時間需求預測方面也獲得不錯的表現,因此本研究將運用 LSTM 與ARIMA 模型進行比較,以確認較佳之零附件預測模型方法。

2.4 長短期遞歸神經網路 LSTM

差值放大效果而產生梯度爆炸的問題[28]。為解決此問題,Hochreiter and Schmidhuber[29]提出長短期神經網路(LSTM),透過加入遺忘閘的設計,如此可以在較長的時間區間內儲存訊息,並記住較長的短時間區段資訊。

RNN 和 LSTM 之間的主要區別在於LSTM 可以儲存長期時間序列資訊,因為LSTM 網路結構包含控制訊息的閘門、輸入閘 (Input Gate)、遺忘閘 (Forge Gate)和輸出閘 (Output Gate)的組成架構[30]。其中遺忘閘依據前次資訊及當時輸入的資訊來計算,可以選擇記住的數據和遺忘的數據,來防止內部單元值無限制地增長,以彌補 RNN 因梯度消失和爆炸而無法學習的狀況。Siami-Namini et al. [27] 運用金融數據比較 ARIMA 和 LSTM 作為預測時間序列數據的代表性技術的準確性,實驗結果證明 LSTM 明顯優於 ARIMA。

從上述文獻得知,深度學習演算法在需求 預測上較傳統方法準確,其中長短期遞歸神經 網路(LSTM)為各領域在做需求預測之基礎, 並且在實證上的預測效果的準確性較高,惟在 零附件需求預測之領域文獻著墨較少,因此, 本研究提出基於 LSTM 演算法的模型架構, 以庫儲系統之零附件歷史耗用紀錄資料來訓 練模型,期能獲得準確之預測結果。誠如前述 文獻探討顯示傳統方法與神經網路之運用各 有所長,目前深度學習為最有效及運用最廣之 預測方式,特別針對時間序列資料預測效果最 為準確。因此,本研究將與傳統 ARIMA 方式 進行比較,對於提高勘估備料的精準度之預測, 關係著裝之妥善率目標之達成、降低庫儲資產 及撙節年度預算,以達預算管控及維持裝備妥 善之目的。

三、研究方法

3.1 研究架構

本研究將蒐集某單位歷史零附件耗用資料,並依據資料特性進行預處理使本研究數據更臻完備。研究程序透過資料蒐集、資料預處理、建模分析、研究評估機器學習相關演算法之方式,找到最佳預測模型,最後產生實證結果,研究架構圖如圖3。

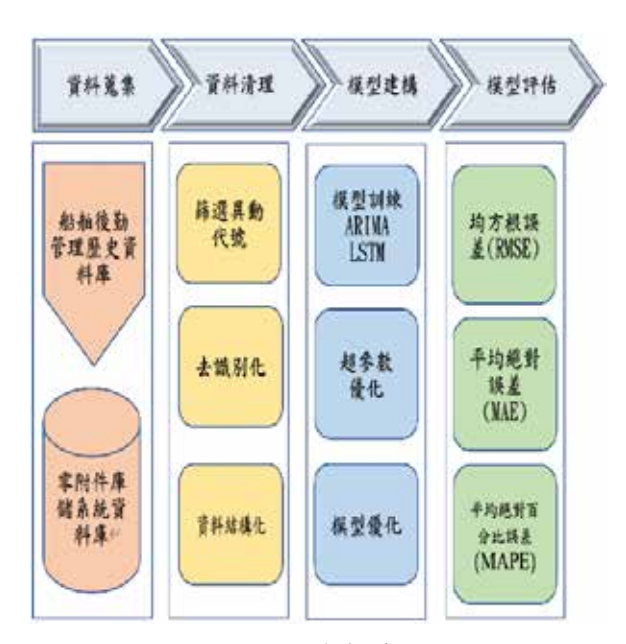


圖 3. 研究架構圖

研究對象為公部門某單位裝備零附件自2010年至2020年止之10年歷史領用紀錄, 資料蒐集時間頻率則考量各裝備維修屬性,將 資料萬集時間頻率則考量各裝備維修屬性,將 到通用料件之週資料為彙整時間單位。由於 計屬性符合時間序列資料類型,因此在資料 理階段將檢視系統中之歷史領用紀錄,篩 選門 關資料異動代號,並彙整每週耗用情形。為訓 續模型,結構化資料完成處理後將分割為訓練 人測試集,以訓練集資料來建立模型,而測試 集資料則用來評估訓練集所建立之模型就 表別試模型之穩固性,對於數據 現 交叉驗證,最後產生備料需求預測模型。

3.2 長短期遞歸模型 LSTM

LSTM 可以預測具有未知持續時間的時間隔的時間序列,與傳統 RNN 相比具顯著優勢[31]。LSTM 網路架構包三種神經網路層: (1)輸入層,其神經元數量等於輸入變量的數量,(2)單個或多個隱藏層和(3)輸出屬層的 神經元數量等於輸出變量的數量。記憶單元的結構具有三種類型的閘門:(1)遺忘閘 f_t ,(2)一個輸入閘 i_t ,以及(3)一個輸出閘 o_t ,模型架構如圖4。在記憶單元中,在每個時間t,賴如圖來自輸入序列 X_t 的一個元素和前一期的輸出組成時間步長 h_{t-1} 。(a)遺忘閘接受起輪入並決定將刪除哪些資訊,(b)輸入閘決定將哪些資訊添加到記憶中,(c)輸出閘決定資料分析後的輸出值。

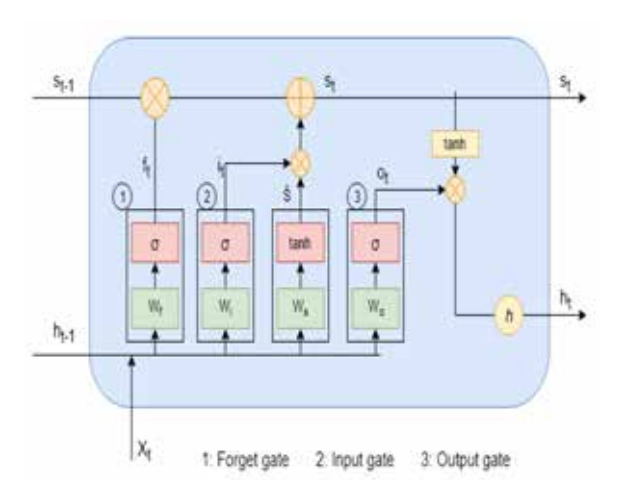


圖 4. LSTM 神經網路架構圖

LSTM 主要運用三個神經元閘門運算單元來架構整體模型訓練流程。首先,遺忘閘 f_t 負責將當次輸入值 X_t 和前次輸出值 h_{t-1} 結合 (分別乘上權重值 W_f)作為當次(t)運算的自變項,並加上偏差項 b_f ,之後再以 sigmoid (σ) 激活函數(Activation Function)進行非線轉換的計算。神經元閘門單元的設計主要是用來訓練並決定各神經元的最適權重 W_f 的參數組合,遺忘閘 f_t 的方程式如公式(1)。

$$f_t = \sigma \big(W_f X_t + W_f h_{t-1} + b_f \big) \tag{1}$$

第二個閘門結構是輸入資訊與記憶篩選閘門,主要是用來分析當期輸入資訊及獲得更新記憶狀態的特徵資訊。這部份包含有兩個門:第一個子神經元閘門 i_t ,對當的輸入做選擇性記憶,同樣取當次輸入 X_t 的輸入做選擇性記憶,同樣取當次輸入 X_t 的輸入做選擇性記憶,同樣取當次輸入權值 W_i),而 b_i 為偏差項,並使用 σ 來決定是不留記憶資訊,如公式(2)。第二個子神經元閘門 \tilde{s}_t ,則是用來計算前次輸出的資訊(前期程度的值域是介於-1至+1的區間,因此閘門是使用Tanh激活函數進行非線性轉換,如公式(3)。

$$i_t = \sigma(W_i X_t + W_i h_{t-1} + b_i)$$
 (2)

$$\widetilde{s_t} = Tanh(W_{\tilde{s}}X_t + W_{\tilde{s}} h_{t-1} + b_{\tilde{s}})$$
 (3)

當完成前述兩個閘門單元運算後,隨後會將 f_t 與前一次狀態 s_{t-1} 進行乘積運算,輸出值則 代表是否保留前一次訊息或丟棄不要得資訊 的決定,最後再加上 i_t 與 \tilde{s}_t 乘積的結果,用以

更新記憶狀態,並得到新的記憶狀態單元值 s_t ,如公式(4):

$$s_t = f_t \cdot s_{t-1} + i_t \cdot \tilde{s}_t$$
 (4)

最後是輸出閘門單元則是用來決定輸出值,結構同樣是取當前輸入 X_t 和前期輸出 h_{t-1} 相結合,並分別乘上權重值 W_o ,而 b_o 為偏差項,並使用 σ 來決定輸出 o_t ,如公式(5)。本期輸出的隱藏記憶資訊 h_t 為公式(6),此運算會將記憶狀態單元值 S_t 透過Tanh激活函數計算,再與輸出閘 o_t 進行乘積運算而得到最後 h_t 。

$$o_t = \sigma(W_0 X_t + W_0 h_{t-1} + b_0)$$
 (5)

$$h_t = Tanh(s_t) * o_t (6)$$

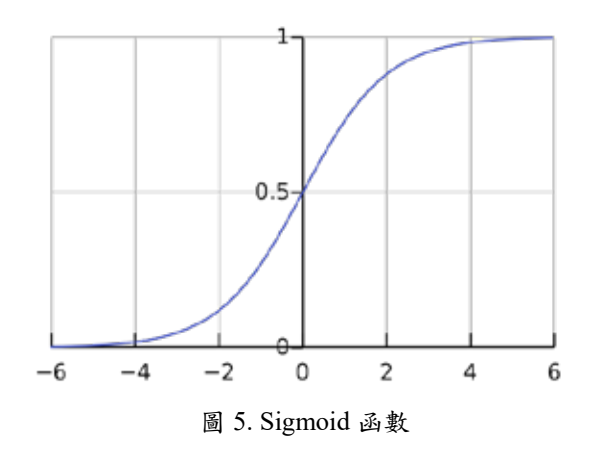
3.3 模型訓練超參數與優化

LSTM 神經網路模型的訓練過程中隱含 超參數的設定,其目的是為調校及優化訓練 模型以產生更準確的結果,藉由調整這些超 參數可使模型更佳地適配因變項。超參數主 要可區分為激活函數、損失函數、優化器、 丟棄率和學習率等。

3.3.1 激活函數

激活函數是深度學習神經網路實現非線 性輸出的關鍵,其功能如同感知器的開關,用 來決定輸出值的大小。由於每一個神經元運算 都必需經過此過程,可知激活函數是深度學習 模型中最重要的超參數[32]。由於神經網路是 透過調整神經元和資料流之間的權重來使訓 練與學習,如果沒有轉換,則深度學習的效果 與一般神經網路的效果沒有區別。在 LSTM 網 路架構中使用到的非線性激活函數主要為 Sigmoid 及 Tanh 函數。Sigmoid 函數的值域介 於 0 到 1 之間,由於此值域的特性可模擬控 制神經元節點是否被激發並進行資訊傳導的 功能,如同神經運算單元是否傳遞資訊的開 關,因而成為神經網路運算節點主要的非線性 轉換函式選擇。然而 sigmoid 函數在倒傳遞梯 度運算的極值上常會變得非常小,所以在深度 神經網路架構中易導致梯度消失(vanishing gradient)的問題而間接影響訓練的效能,詳如 方程式(7)及圖 5 所示。

$$f(x) = \frac{1}{1 + e^{-x}} \tag{7}$$



Tanh 函數則是類似 Sigmoid 的一種非線性函數,值域介於 -1 到 1 之間,常運用在輸出範圍需要以負值表示,或是偏好參數平均值為 0 時使用,同樣地與 Sigmoid 函數一樣在倒傳遞運算時其極值亦可能有梯度消失的問題,詳如方程式(8)及圖 6 所示。

$$tanh(x) = \frac{e^x - e^{-x}}{e^x + e^{-x}}$$
 (8)

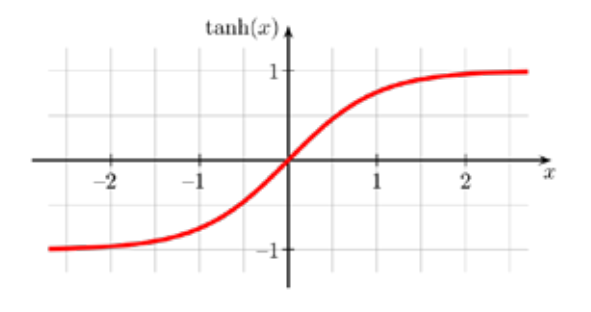


圖 6. Tanh 函數

3.3.2 損失函數

LSTM 網路架構中的損失函數(Loss Function)則是在訓練過程中用來計算誤差的目標式,藉以評估每一次訓練結果的預測值與真實值的差異程度,輸出值越小越好,基本上可分別針對迴歸和分類問題設計不同的目標函數。若運用 LSTM 在時間序列或迴歸的問題時,其主要的損失函數有均方誤差(Mean Square Error, MSE)、平均絕對值誤差(Mean Absolute Error, MAE),而若運用在分類的問題則常見的函數為交叉熵(cross-entropy)。

在迴歸的問題中,通常期望模型預測值能 夠接近真實的值,但實務上預測值基本上與實 際值之間一定存在差距,此差距即是統計上的 「殘差(residual)」,而損失函數中的 Loss 就是 計算「實際值和預測值的殘差」,而迴歸常用 的損失函數為:均方誤差(Mean Square Error, MSE)、平均絕對值誤差(Mean Absolute Error, MAE)。

均方誤差(MSE)是用來計算預測值與真實值之間差異的均方值,其設計是因為計算所有資料的平均值,而誤差值包含正負數,所以加上平方即去除正負值在加總過程中相互抵消的效果,藉此可評估訓練模型的預測值與實際值的差異程度,如方程式(9);另外,除了均方誤差外,亦可使用平均絕對值誤差(MAE),以絕對值修正誤差值使其輸出為正數,如方程式(10)。

$$MSE = \frac{1}{n} \sum_{i=1}^{n} i(y_i - \hat{y}_i)^2$$
 (9)

$$MAE = \frac{1}{n} \sum_{i=1}^{n} |y_i - \hat{y}_i|$$
 (10)

本研究的零附件需求預測模型將以均方 誤差(MSE)及平均絕對值誤差(MAE)作為模 型訓練的損失函數。

3.3.3 優化器

隨著深度學習領域的快速發展,優化器與神經網路模型的表現有著高度相關性[33]。神經網路中每一個神經元有屬於自己的權重,而優化器(Optimizer)是用來調整權重值參數,使模型達到最佳值的重要方法,常見的優化器有 SGD、Momentum、Adagrad、Adadelta、RMSprop 及 Adam 等。

隨機梯度下降法(Stochastic Gradient Descent, SGD)是深度神經網路最常使用的優 化方法,是基於隨機值進行梯度計算來修正權 重,雖然訓練速度快,但由於更新頻繁,容易 導致準確率下降或不易找到全域最佳解[34]。 Momentum 是「動量」的意思,此優化器為模 擬物理動量的概念,在同方向的維度上學習速 度會變快,方向改變的時候學習速度會變慢。 Adagrad 則是在學習過程中不斷調整學習率, 依照梯度去調整學習率。優點是能加快訓練速 度,在前期梯度較小時(坡度較平坦)能夠放大 梯度,後期梯度較大時(坡度較陡峭)能約束梯 度,但缺點是在訓練中後段時有可能梯度趨近 於 0,而過早结束學習過程。Adadelta 為 Adagrad 的更新版本,可改善 Adagrad 的缺點, 使用梯度均方根的指數衰減平均值作為第二 梯度時刻,僅依賴前一時刻的平均和當前梯度 的訊息來計算,根據轉換更新的移動窗口來調整學習速度。RMSprop 是 Hinton [35]所提出,可改善 Adagrad 的缺點。此外 RMSprop 方法比 Adagrad 增加一個衰減計算,用於衡量前次梯度變化的程度來更新學習率以減緩 Adagrad 學習率下降過快的問題。Adam 則是近期在各種模型表現較佳的方法,使用取代傳統隨機梯度下降過程的一階優化算法,基於訓練數據迭代地更新神經網路權重。由於上述優化器方法各有優缺點,因此本研究後續將透過實驗檢視並比較各優化器於本研究模型中的表現以確定最適配之優化器方法。

3.3.4 丟棄率

深度神經網路結構複雜,加上往往訓練數據量大,因而容易產生模型過度配適(overfitting)的問題。丟棄率Dropout是一種修正過度配適的方法,可在訓練時隨機將神經元的激活值預先設置為零[36]。在訓練時每一次的迭代(epoch)皆以一定的機率丟棄隱藏層神經元使得被丟棄的神經元不會傳遞訊息,此外在倒傳遞運算(backward propagation)時,被丟棄的神經元因為其梯度是 0,所以在訓練時不會過度依賴某一些神經元,藉此達到降低過配適的效應[37],如圖 7。

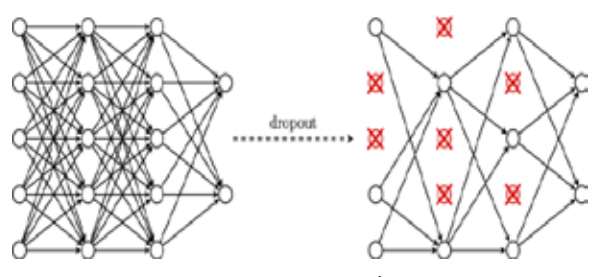


圖 7. Dropout 示意圖

3.3.5 學習率

學習率(Learning Rate)主要是用來決定損失函數梯度調整神經網路權值運算的速度,也就是在梯度下降的過程中控制每次權重更新的步幅大小,最終影響模型的收斂速度與表現。若學習率太小,雖可確定神經網路之收斂,但卻影響整體模型的訓練速度,可能會產生學習緩慢及落於局部區域最佳解的情形。度學習率過大,雖可加快學習速度相反的,如果學習率過大,雖可加快學習速度相反的,如果學習率過大,雖可加快學習速度過大,雖可加快學習速度過程與發

現透過較佳的學習率可改善神經網路模型 [38],因此本研究亦將透過實驗組合決定相關 較適的學習率值。

3.4 模型評估

為使模型評估以量化方式顯示其表現,並且計算出預測值與實際值之差異,在各項文獻中已提出許多模型評估方法來計算誤差,考量使用單一評估指標無法正確顯示模型差異,故本研究將以平均絕對誤差(Mean Absolute Error, MAE)、平均絕對百分比誤差(Mean Absolute Percentage Error, MAPE)以及均方根誤差(Root-Mean-Square Error, RMSE)等方式來進階評估模型,當誤差值越小,則代表模型準確越高。

MAPE 是評估預測準確度最常用的指標之一種。MAPE 為每項絕對誤差的和除以實際值。實際上,它是誤差百分率的平均值。使用 MAPE,當百分比越小,則代表模型越佳[39],方程式如(11)。

$$MAPE = \frac{1}{n} \sum_{i=1}^{n} \frac{|y_i - \hat{y}_i|}{y_i} \times 100\%$$
 (11)

以平均絕對誤差(MAE)方式來進階評估模型,平均絕對誤差是一個很好的預測評估指標,它是所有單一觀測值與算術平均值偏差的絕對值的平均。與平均誤差相比,MAE 由於離差被絕對值化,不會出現正負相抵消的情況,因而,平均絕對誤差能更好地反映預測值誤差的實際情況。當誤差值越小,則代表模型準確越高[40],方程式如(12)。

$$MAE = \frac{1}{n} \sum_{i=1}^{n} |y_i - \hat{y}_i|$$
 (12)

RMSE 是一種經常用於評估模型而獲得預測準確性的度量,它是預測值與實際值之間的平方差平均值的平方根,測量實際值和預測值之間的差異或殘差,該指標比較不同模型對特定數據的預測誤差,而不是數據集之間的預測誤差[27],公式如(13):

RMSE =
$$\sqrt{\frac{1}{N} \sum_{i=1}^{N} (y_i - \hat{y}_i)^2}$$
 (13)

四、實驗與研究發現

本研究對象為某單位零附件管理系統,主 要篩選 2010 年至 2020 年之間船舶零附件歷 史耗用紀錄,針對高消耗量且不具機敏性之料 件項目作為資料收集標的。零附件存貨水準與 領用頻率與裝備維修保養作業效率高度相關, 同時由於資料具時間序列特性,資料的質量將 影響模型的訓練效率與預測準確性,故僅挑選 具有高頻的領用品項作為研究對象。經篩選每 年供補數大於 500 次以上品項後再以週為時 間單位彙整歷史耗用資料,資料筆數共計515 筆。考量裝備零附件資料之機敏性,原始資料 已先行完成去識別化,並比對實際耗用之異動 紀錄,刪除相同品項,以免重複計算,最後清 理後的資料集主要以零附件耗用及供補數量 等變項來分析時間序列資料之變化樣態 (pattern) •

4.1 時間序列之需求預測模型

為檢驗深度學習模型的效益,本研究將 ARIMA 傳統時間序列方法建立需求預測模型 的比對基準(benchmark)。考量後續比對的一致 性,資料的分割均以隨機選取 70%資料作為訓 練集來訓練模型,其餘的 30%則為測試集來測 試模型的效能。初步以敍述統計分析來檢視時 間序列資料集之變化,經時間序列折線圖可得 到週零附件領用量的異動變化,如圖 8。

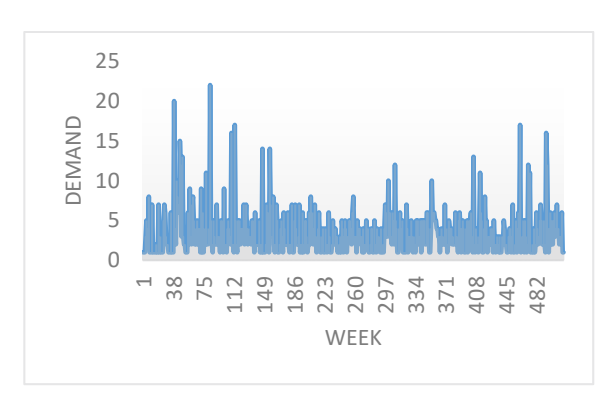


圖 8. 某零附件 2010 至 2020 年歷史需求異動

4.2 ARIMA 模型

為建立研究比較基準,首先將運用自迴歸綜合移動平均模型 (ARIMA) 建構需求預測模型,方法原理是基於迴歸移動平均(ARMA)廣義模型,是一種結合自迴歸(AR)過程和移動

平均(MA)以構建時間序列的複合模型,可應用在分析非平穩時間序列資料。由於 ARIMA模型必須先將序列轉換為平穩的隨機序列,也就是需先行透過差分運算的過程將非平穩資料轉換為平穩資料。若考量週期性則可以季節差分與 ARIMA 模型相結合的 SARIMA 建立模型,因為 SARIMA 更適用於具有週期性特徵的時間序列數據建模。在本實驗中,使用ARIMA 演算法分析資料集時間序列的變化,觀察原始數據在時間序列圖的變動,圖中呈現零附件每週撥發量在過去的異動情形,如圖9。

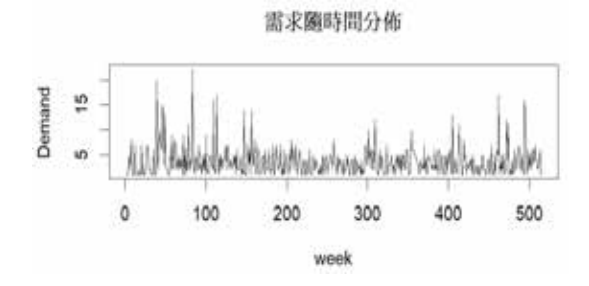


圖 9. 原始資料之時間序列分佈

從原始時間序列圖中初步可發現每週的領用量具有穩定的趨勢,後續經單根檢定可進一步確認均數及方差是否在一定範圍內,如果檢定後 p-value 未小於 0.05,則需要將資料進行轉換及差分。在對非定態資料之處理一般會利用差分或採用分解法修正資料的趨勢性與季節性,藉以消除趨勢和季節波動的影響,使序列達到平穩化。

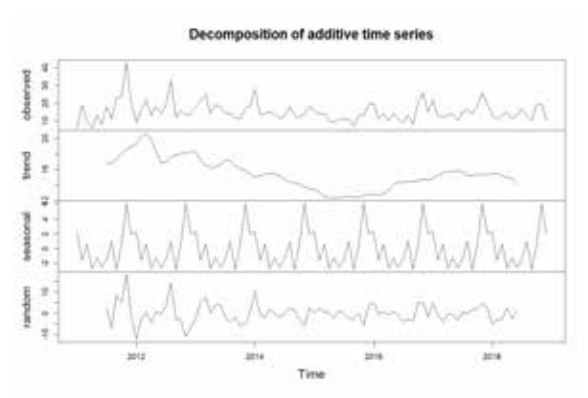


圖 10. 原始資料時間序列分解圖

本實驗初步假設研究資料帶有季節及趨勢性,因此透過分解法來分解時序圖(如圖10),圖中共有四個子圖,第一部分是顯示原始資料集的序列分佈,第二部分為資料均值的趨勢線,第三部分則萃取並視覺化資料的季節性樣態,第四部份則是將第一部份的實際值減去

第二部分的趨勢,再減去第三部分的季節性則 可以獲得資料的隨機性。

此外序列是否穩定(定態)將影響序列資料的分析結果,所以在進行時間序列分析之前本研究將先檢定資料是否符合定態的假設。除了以單根檢定(Augmented Dickey Fuller, ADF)外,也可以使用殘差檢定分析。另外自相關係數(Auto Corrlation Function, ACF)及樣本偏自我相關函數(Partial Autocorrelation Function, PACF)圖形也可用來驗證資料的定態與否。在單根檢定(ADF)部分,為了確定資料其平穩性,其*p-value*要小於0.05。經分析本研究資料集 ADF的 *p-value*為0.01,即可初步確認資料集屬於定態。而殘差檢定結果可從殘差圖(如圖11)發現資料均分佈於信賴區間(藍色虛線間),故也可再次確認資料集符合序列的平穩性。

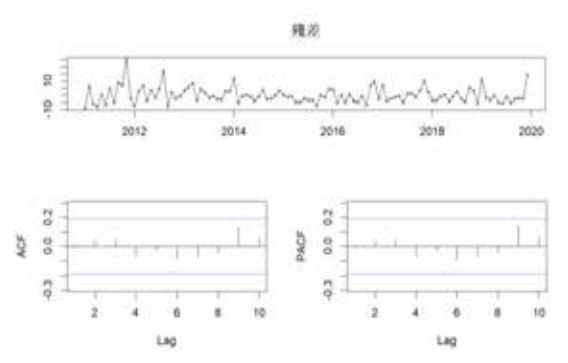
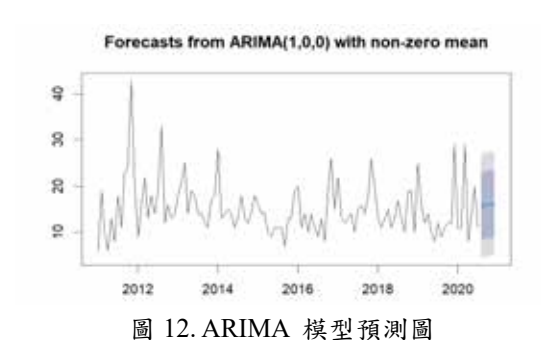


圖 11. ARIMA 模型檢定

最後以ARIMA(1,0,0)參數進行模型訓練,並將預測結果以三項模型評估指標(MAPE、MAE、RMSE)分別加以計算,相關指標值將做為後續實驗的比較基準,模型如圖 12。



4.3 LSTM 模型

誠如文獻探討的研析,許多領域的研究已 證明深度學習演算法在需求預測可以得到較 佳的結果,因此本研究將進一步運用深度學習 LSTM 遞歸神經網路進行建模及預測,最後再與 ARIAM 模型進行比較。本實驗的 LSTM 模型預設的激活函數是使用 sigmoid,超參數實驗之優化器比較則分別採用 Adadelta、RMSprop及 Adam,並搭配不同神經元數及學習率進行組合實驗,藉此獲得最佳模型參數組合,如圖 13。

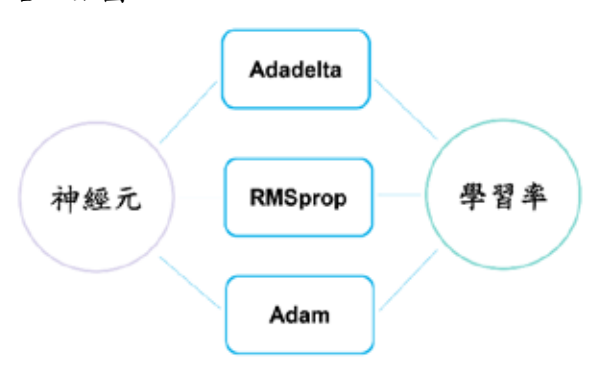


圖 13. 超參數實驗組合

4.3.1 模型建構

本資料集經整理後共計為 515 筆序列資料並將其分割為訓練集及測試集,隨後進行模型的預測與評估,LSTM 模型初始參數如表 1。

表 1. LSTM 模型初始參數

Layer (type)	Output Shape	Param	
lstm (LSTM)	(1, 1, 10)	480	
lstm_1 (LSTM)	(1, 10)	840	
dense (Dense)	(1, 1)	11	

4.3.2 模型優化組合實驗

由於學習率對於模型好壞有著一定程度影響,藉由微調學習率來查看資料集變化,本研究將檢視學習率參數 0.003 至 0.03 區間對模型的影響。另外,神經元的數量亦會影響訓練結果,故實驗後續將分別以神經元 20 及 30 搭配學習率的組合進行測試用以觀察不同神經元與學習率組合之變化。至於優化器是用來調整參數使模型訓練達到最佳結果,根據文獻分析結果,本研究選擇三種優化器(Adadelta、RMSprop、Adam) 並搭配神經元 20 及 30 的設定,再以不同學習率進行比較分析。

實驗一:優化器 Adadelta 搭配神經元 20 之學習率優化。實驗結果發現,當學習率為 0.007 時可得到最小的 MAPE 值(0.0025),若 從圖 14 可以觀察學習率與模型表現的相關 性,初期隨學習率遞增,模型表現未有顯著變化,但是隨著學習率大於 0.02 時,MAPE 值則快速增加,由此可知在此實驗情境下,較佳的學習率約在 0.01 至 0.02 之間。

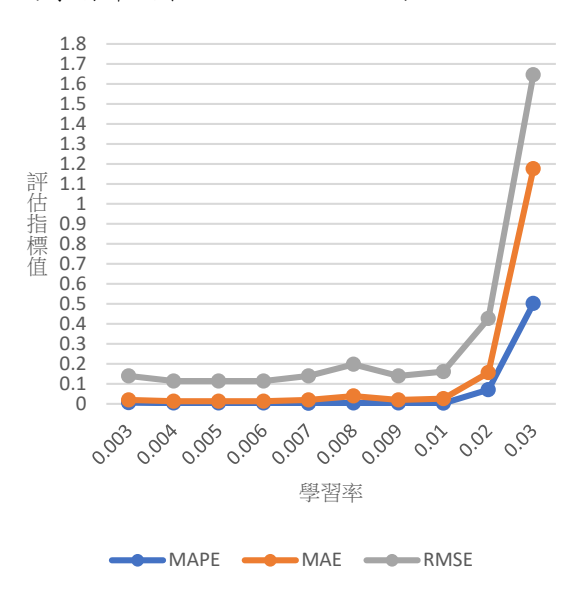


圖 14. 學習率優化(Adadelta+神經元 20)

實驗二:優化器 Adadelta 搭配神經元 30 之學習率優化。實驗結果發現,當學習率高於 0.01 之後,其模型就逐漸表現不佳;另外在學習率低於 0.007 狀況下,其 MAPE 值等三種評估指標則無變化;另外,與神經元 20 相同,在隨著學習率遞減,相關評估指標之績效亦同時遞增,如圖 15。在本研究初始設定之學習率區間內,依 MAPE 值等三種評估指標,可得知當學習率為 0.008 為模型最佳結果,其數值與神經元 20 時,其學習率 0.007 相同。

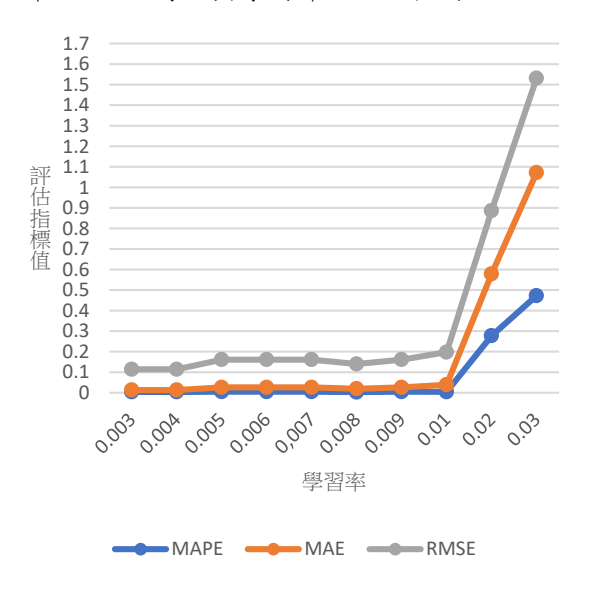


圖 15. 學習率優化(Adadelta+神經元 30)

實驗三:優化器 RMSprop 搭配神經元 20 之學習率優化。實驗結果發現,當學習率為 0.003 及 0.007 時的模型表現較佳,再由圖 16 發現,當學習率變化時,對於模型優化程度較 不明顯。

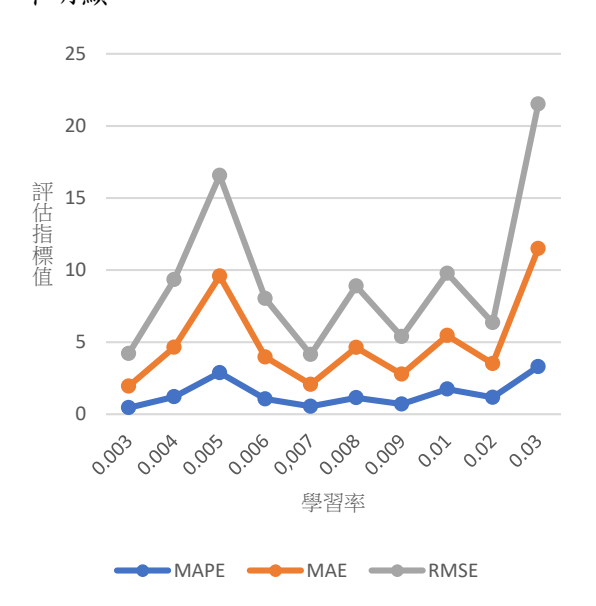


圖 16. 學習率優化(RMSprop+神經元 20)

實驗四:優化器 RMSprop 搭配神經元 30 之學習率優化。實驗結果發現,當學習率為 0.006 時模型較佳,惟與神經元 20 時相同,學 習率調整對模型優化並無改善,如圖 17。

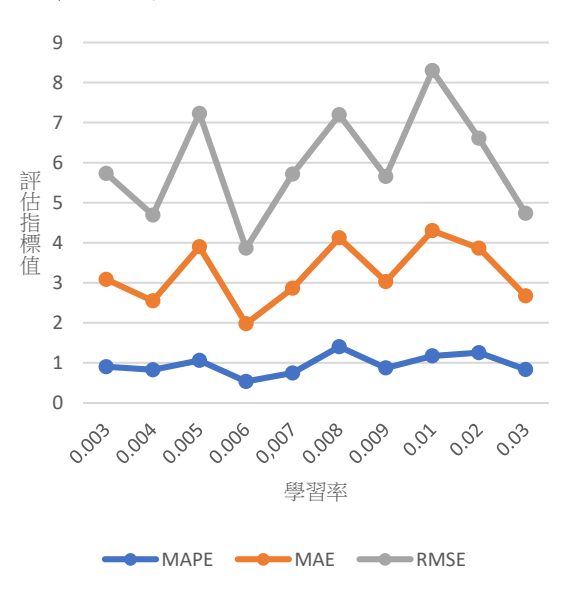


圖 17. 學習率優化(RMSprop+神經元 30)

實驗五:優化器 Adam 搭配神經元 20 之 學習率優化。實驗結果發現學習率的調整對模 型優化程度並無明顯幫助,如圖 18。

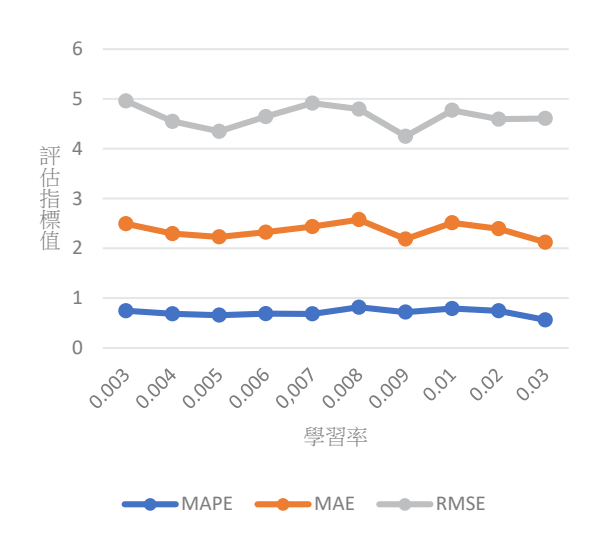


圖 18. 學習率優化(Adam+神經元 20)

實驗五:優化器 Adam 搭配神經元 30 之 學習率優化。實驗結果發現學習率的調整對模 型優化程度並無明顯幫助,如圖 19。

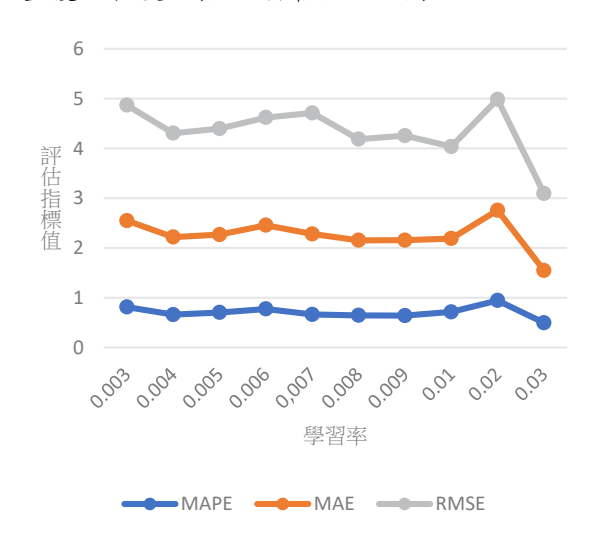


圖 19. 學習率優化(Adam+神經元 30)

優化器 Adam 搭配神經元 20 及 30 的模型設計下,經實驗發現在學習率為 0.03 時,其 MAPE 值有再下降之趨勢,故再以學習率 0.04 及 0.05 實施測試,發現 MAPE 為 0.7942 及 1.1171,依數據顯示並未有更佳之結果。

優化器綜合比較:為了解何種優化器可產生較佳的訓練模型,在神經元30時以10種學習率值進行統計值的彙整及分析,由MAPE、MAE及RMSE三種模型評估指標可以明顯發現Adadelta優化器對本研究的模型訓練產生較佳的結果,如圖20、21、22。

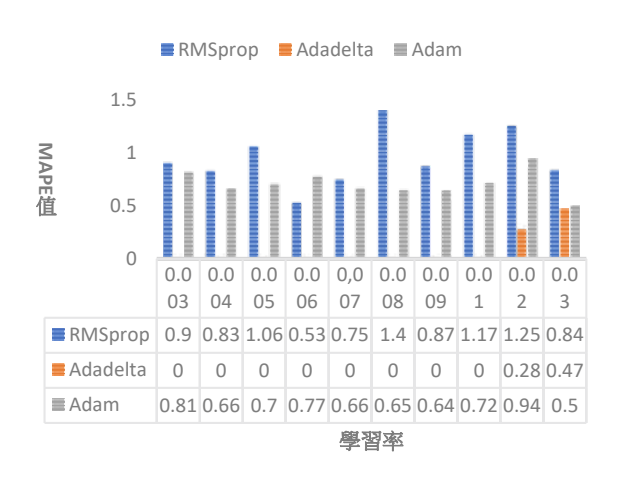


圖 20. 優化器 MAPE 評估指標比較圖

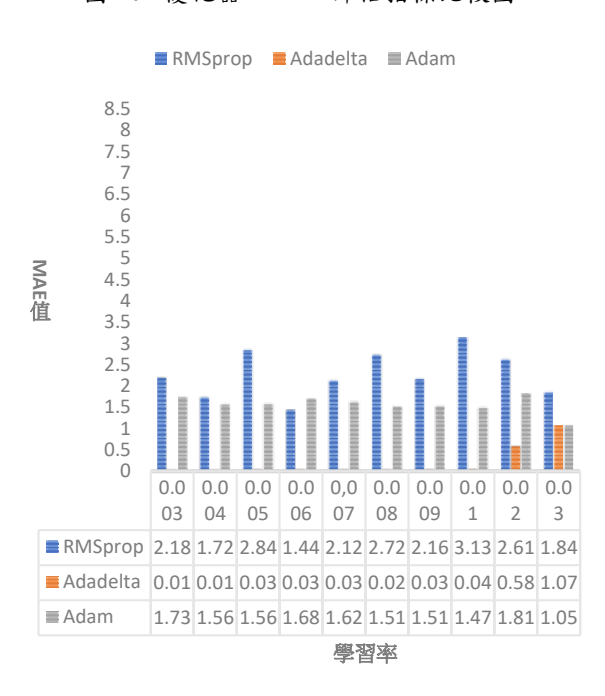


圖 21. 不同優化器 MAPE 比較圖

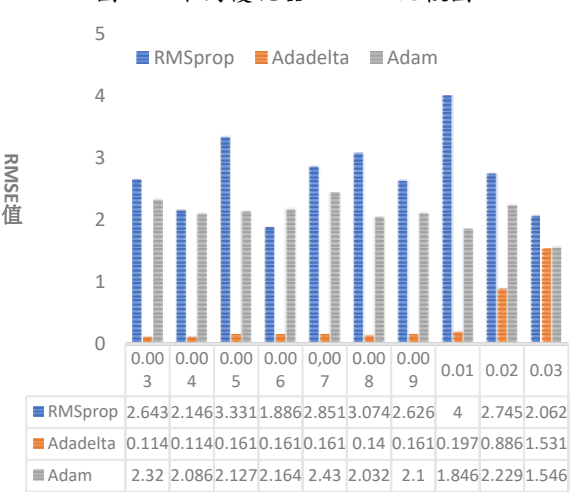


圖 22. 不同優化器 RMSE 比較圖

從綜合分析中可以瞭解在不同優化器實驗中為了優化及提升預測模型的表現,使用超參數調整來訓練模型,並從中挑選出最佳之超參數。以 MAPE 評估指標(以 MAPE 值為例)觀察,Adadelta 優化器的準確度較佳,在搭配神經元30及學習率0.008時為模型最佳組合,不同優化器模型表現比較如表2。

表 2. 不同優化器比較表(以 MAPE 為例)

優化器	MAPE	最佳值	
Adam	0.6466		
		0	
Adadelta	0.0025	©	

分別藉由優化器、神經元及學習率搭配組合,調教修正模型學習,在各優化器下將各超參數調整至預測最佳組合,將 LSTM 預測模型圖以視覺化方式呈現,發現實際值與預測值的重疊比例呈現高度重疊,如圖 23。

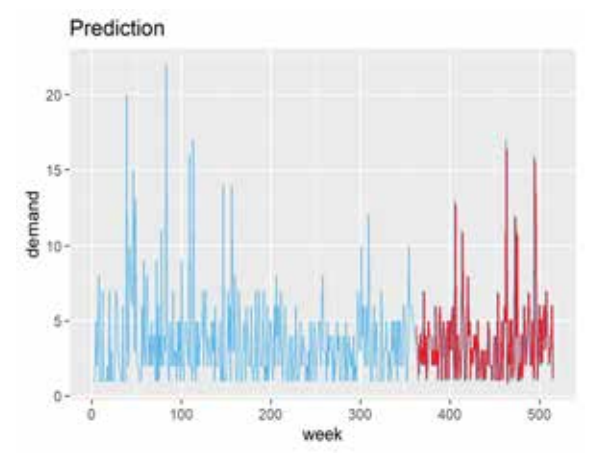


圖 23. LSTM 預測模型圖

最後歸納上述綜合比較的結果來進行 ARIMA 及 LSTM 兩種需求預測模型比較,經 研究證實,LSTM 模型的確優於傳統 ARIMA 方法。

表 3. 模型評估指標比較表

模型	MAPE	MAE	RMSE	最佳值
LSTM	0.0025	0.0195	0.1396	0
ARIMA	0.4420	6.4205	0.5954	

五、結論

本研究探討零附件歷史耗用趨勢,由實驗結果發現運用 LSTM 深度學習演算法建立通用零附件備料之科學預測方法可精準預測未來需求以提供後勤備料決策參考。此外為檢說上較基於不同時間序列需求預測方法。ARIMA 及 LSTM 的差異,以 MAPE、MAE 及 RMSE等三種評估指標做為模型優劣的依據學不有實驗的比較分析可驗證 LSTM 深度學的於實質法優於傳統 ARIMA 時間序列方法。各項實驗的比較分析可驗證 LSTM 深度學習率的人為優化 LSTM 模型,在不同超參數(優優現優別人民工人學習率)的組合實驗結果發現後現優是不及學習率)的組合實驗結果發現後現優便不及學習率的,而神經元及學習率在調模型的影響最大,而神經元及學習率在調模型的影響最大,而神經元及學習率在認力的影響最大,而神經元及學習率在認力的影響,對模型的影響,對模型的影響,對模型的影響,對模型的最佳預測模型。

本研究提出導入 LSTM 深度學習模型可提升後勤運籌管理決策,運用歷史資料研析可以精準預測未來零附件需求量,經由模型所產出之需求預測量,可達成改善需求規劃。因此建議在未來公部門船舶後勤管理系統中可運用深度學習演算法為架構,大規模建立零附件需求預測模型可提升後勤備料的效能。

此外囿於研究對象的庫儲系統資料格式不一而影響模型訓練效能,但未來隨著新建立的系統,應可進一步導入用深度學習演算法如卷積神經網路 (CNN)、遞歸神經網路(RNN)及長短期神經網路 (LSTM)等,直接整合至系統功能以利於巨量數據的學習與分析,並且在未來研究上可考量更多影響因子,如任務型態、頻次、天候、採購週期等不同變數納入考量,將可以獲得更實務的預測結果,以達精準後勤之目標。

参考文獻

- [1] 黎立珊,"整合型後勤資訊系統執行武器 裝備全壽期管理之規劃",海軍學術雙月 刊,第52卷,第2期,第68-81頁,2018。
- [2] Choi, B., & Suh, J. H., "Forecasting Spare Parts Demand of Military Aircraft: Comparisons of Data Mining Techniques and Managerial Features from the Case of South Korea," Sustainability, Vol. 12, No. 15, pp. 6045-6065, 2020.

- [3] Wild, T., <u>Best practice in inventory</u> management, Routledge, Chap. 2C, pp. 47-59, 2017.
- [4] Boylan, J. E. and Syntetos, A. A., "Spare parts management: a review of forecasting research and extensions," IMA journal of management mathematics, Vol. 21, No. 3, pp. 227-237, 2010.
- [5] Aburto, L., and Weber, R., "Improved supply chain management based on hybrid demand forecasts," Applied Soft Computing, Vol. 7, No. 1, pp. 136-144, 2007.
- [6] 蘇雄義,<u>物流與運籌管理-智慧與創新</u>,第 五版,華泰文化,第25-47頁,2021。
- [7] 顏憶茹、張淳智 <u>物流管理: 原理'方法與</u> 實例: 前程文化,第34-45頁,2005。
- [8] Willemain, T. R., Smart, C. N., and Schwarz, H. F., "A new approach to forecasting intermittent demand for service parts inventories," International Journal of forecasting, Vol. 20, No. 3, pp. 375-387, 2004.
- [9] Mayer-Schönberger, V. and Cukier, K., <u>Big</u> data: A revolution that will transform how we live, work, and think, Houghton Mifflin Harcourt, Chap. 1, pp. 1-20, 2013.
- [10] Hua, Z. and Zhang, B., "A hybrid support vector machines and logistic regression approach for forecasting intermittent demand of spare parts," Applied Mathematics and Computation, Vol. 181, No. 2, pp. 1035-1048, 2006.
- [11] Lindsey, M. and Pavur, R., "Prediction intervals for future demand of existing products with an observed demand of zero. International Journal of Production Economics, Vol. 119, No. 1, pp. 75-89, 2009.
- [12] Pawar, N. and Tiple, B., "Analysis on Machine Learning Algorithms and Neural Networks for Demand Forecasting of Anti-Aircraft Missile Spare Parts," Proc. the 2019 International Conference on Communication and Electronics Systems, 2019.
- [13] Chen, F.-L. and Chen, Y.-C., "An investigation of forecasting critical spare parts requirement," Proc. the 2009 WRI world congress on computer science and information engineering, Los Angeles, USA, pp. 225-230, 2009.
- [14] 余桂霖, <u>時間序列分析</u>, 台灣五南圖書, 第 12-20 頁, 2013。

- [15] Fan, C., Xiao, F. and Wang, S., "Development of prediction models for next-day building energy consumption and peak power demand using data mining techniques," Applied Energy, Vol. 127, pp. 1-10, 2014.
- [16] Colladon, A. F., Guardabascio, B., and Innarella, R., "Using social network and semantic analysis to analyze online travel forums and forecast tourism demand," Decision Support Systems, Vol. 123, pp. 113075, 2019.
- [17] Li, W., Cao, J., Guan, J., Zhou, S., Liang, G., So, W. K., and Szczecinski, M., "A general framework for unmet demand prediction in on-demand transport services," IEEE Transactions on Intelligent Transportation Systems, Vol. 20, No. 8, pp. 2820-2830, 2018.
- [18] Cao, S., Hou, S., Yu, L., and Lu, J., "Predictive control based on occupant behavior prediction for domestic hot water system using data mining algorithm," Energy Science & Engineering, Vol. 7, No. 4, pp. 1214-1232, 2019.
- [19] Van Nguyen, T., Zhou, L., Chong, A. Y. L., Li, B., and Pu, X., "Predicting customer demand for remanufactured products: A data-mining approach," European Journal of Operational Research, Vol. 281, No. 3, pp. 543-558, 2020.
- [20] Sathishkumar, V., Park, J., and Cho, Y., "Using data mining techniques for bike sharing demand prediction in metropolitan city," Computer Communications, Vol. 153, pp. 353-366, 2020.
- [21] Papanagnou, C. I. and Matthews-Amune, O., "Coping with demand volatility in retail pharmacies with the aid of big data exploration," Computers & Operations Research, Vol. 98, pp. 343-354, 2018.
- [22] Jiang, S., Chin, K.-S., Wang, L., Qu, G., and Tsui, K. L., "Modified genetic algorithm-based feature selection combined with pretrained deep neural network for demand forecasting in outpatient department," Expert systems with applications, Vol. 82, pp. 216-230, 2017.
- [23] Dombi, J., Jónás, T., and Tóth, Z. E., "Modeling and long-term forecasting demand in spare parts logistics businesses," International Journal of Production Economics, Vol. 201, pp. 1-17, 2018.

- [24] Wang, C.-C., Chien, C.-H., and Trappey, A. J. C., "On the Application of ARIMA and LSTM to Predict Order Demand Based on Short Lead Time and On-Time Delivery Requirements," Processes, Vol. 9, No. 7, pp. 1157, 2021.
- [25] Dali, H. and Chengcheng, L., "Demand forecast of equipment spare parts based on EEMD-LSTM," Proc. the 2021 6th International Conference on Intelligent Informatics and Biomedical Sciences, Oita, Japan, pp. 230-234, 2021.
- [26] Abbasimehr, H., Shabani, M., and Yousefi, M., "An optimized model using LSTM network for demand forecasting," Computers & industrial engineering, Vol. 143, pp. 106435, 2020.
- [27] Siami-Namini, S., Tavakoli, N., and Namin, A. S., "A comparison of ARIMA and LSTM in forecasting time series," Proc. IEEE International Conference on Machine Learning and Applications (ICMLA), Florida, USA, pp. 1394-1401, 2018.
- [28] LeCun, Y., Bengio, Y., and Hinton, G., "Deep learning," Nature, Vol. 521, No. 7553, pp. 436-444, 2015.
- [29] Hochreiter, S. and Schmidhuber, J., "Long short-term memory," Neural computation, Vol. 9, No. 8, pp. 1735-1780, 1997.
- [30] Greff, K., Srivastava, R. K., Koutník, J., Steunebrink, B. R., and Schmidhuber, J., "LSTM: A search space odyssey," IEEE transactions on neural networks and learning systems, Vol. 28, No. 10, pp. 2222-2232, 2016.
- [31] Ribeiro, A. M. N., do Carmo, P. R. X., Rodrigues, I. R., Sadok, D., Lynn, T., and Endo, P. T., "Short-Term Firm-Level Energy-Consumption Forecasting for Energy-Intensive Manufacturing: A Comparison of Machine Learning and Deep Learning Models," Algorithms, Vol. 13, No. 11, pp. 274, 2020.
- [32] Day, M.-Y. and Lin, Y.-D., "Deep learning for sentiment analysis on google play consumer review," Proc. IEEE international conference on information reuse and integration (IRI), San Diego, USA, pp. 382-388, 2017.
- [33] Kobayashi, T., "SCW-SGD: Stochastically Confidence-Weighted SGD," Proc. IEEE International Conference on Image Processing (ICIP), Abu Dhabi, United Arab

- Emirates, pp. 1746-1750, 2020.
- [34] Zhang, Z., "Improved adam optimizer for deep neural networks," Proc. IEEE/ACM 26th International Symposium on Quality of Service (IWQoS), Banff, Canada, pp. 1-2, 2018.
- [35] Tieleman, T. and Hinton, G., "Lecture 6.5-rmsprop: Divide the Gradient by a Running Average of Its Recent Magnitude," COURSERA: Neural Networks for Machine Learning, Vol.4, pp. 26-31, 2012.
- [36] Wu, H. and Gu, X., "Towards dropout training for convolutional neural networks," Neural Networks, Vol. 71, pp. 1-10, 2015.
- [37] Li, Z., Gong, B., and Yang, T., "Improved dropout for shallow and deep learning," Advances in neural information processing systems, Vol. 29, pp. 2523-2531, 2016.
- [38] Ren, G., Cao, Y., Wen, S., Huang, T., and Zeng, Z., "A modified Elman neural network with a new learning rate scheme," Neurocomputing, Vol. 286, pp. 11-18, 2018.
- [39] Wang, S., Wang, X., Wang, S., and Wang, D., "Bi-directional long short-term memory method based on attention mechanism and rolling update for short-term load forecasting," International Journal of Electrical Power & Energy Systems, Vol. 109, pp. 470-479, 2019.
- [40] Lu, X., Ma, C., and Qiao, Y., "Short-term demand forecasting for online car-hailing using ConvLSTM networks," Physica A: Statistical Mechanics and its Applications, Vol. 570, pp. 125838, 2021.